

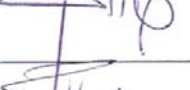
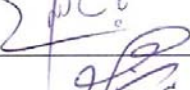
الله
رسوله
حسنه



تاییدیه اعضای هیات داوران حاضر در جلسه دفاع از رساله دکتری

خانم فرانک فلاحیان رشته بیوشیمی بالینی رساله دکتری خود را با عنوان: «بررسی نقش eGMP در القاء تکثیر / آپوپتوز از طریق PKG و تعیین الگوی بیان ایزوفرمهای آن در دو رده سلولی سرطان سینه، MCF-7 و MDA-MB468 » در تاریخ ۱۳۹۰/۶/۲۶ ارائه کردند.

اعضای هیات داوران نسخه نهایی این رساله را از نظر فرم و محتوا تایید کرده و پذیرش آنرا برای تکمیل درجه دکتری پیشنهاد می‌کنند.

اعضا	نام و نام خانوادگی	اعضای هیات داوران
	دکتر فاطمه صغیری کرمی تهرانی	استاد راهنمای
	دکتر سیامک سلامی	استاد مشاور
	دکتر محمد تقی خانی	استاد ناظر
	دکتر محمدجواد رسایی	استاد ناظر
	دکتر علی رحیم پور	استاد ناظر
	دکتر پروین پاسالار	استاد ناظر
	دکتر سید علیرضا مصباح نمین	نماینده تحصیلات تکمیلی

آیین‌نامه حق مالکیت مادی و معنوی در مورد نتایج پژوهش‌های علمی دانشگاه تربیت مدرس

مقدمه: با عنایت به سیاست‌های پژوهشی و فناوری دانشگاه در راستای تحقق عدالت و کرامت انسانها که لازمه شکوفایی علمی و فنی است و رعایت حقوق مادی و معنوی دانشگاه و پژوهشگران، لازم است اعضاً هیأت علمی، دانشجویان، دانش‌آموختگان و دیگر همکاران طرح، در مورد نتایج پژوهش‌های علمی که تحت عنوانین پایان‌نامه، رساله و طرحهای تحقیقاتی با هماهنگی دانشگاه انجام شده است، موارد زیر را رعایت نمایند:

ماده ۱- حق نشر و تکثیر پایان‌نامه/ رساله و درآمدهای حاصل از آنها متعلق به دانشگاه می‌باشد ولی حقوق معنوی پدید آورندگان محفوظ خواهد بود.

ماده ۲- انتشار مقاله یا مقالات مستخرج از پایان‌نامه/ رساله به صورت چاپ در نشریات علمی و یا ارائه در مجتمع علمی باید به نام دانشگاه بوده و با تایید استاد راهنمای اصلی، یکی از اساتید راهنمای، مشاور و یا دانشجوی مستول مکاتبات مقاله باشد. ولی مستولیت علمی مقاله مستخرج از پایان‌نامه و رساله به عهده اساتید راهنمای و دانشجو می‌باشد. تصریح: در مقالاتی که پس از دانش‌آموختگی بصورت ترکیبی از اطلاعات جدید و نتایج حاصل از پایان‌نامه/ رساله نیز منتشر می‌شود نیز باید نام دانشگاه درج شود.

ماده ۳- انتشار کتاب و یا نرم افزار و یا آثار ویژه (اثری هنری مانند فیلم، عکس، نقاشی و نمایشنامه) حاصل از نتایج پایان‌نامه/ رساله و تمامی طرحهای تحقیقاتی کلیه واحدهای دانشگاه اعم از دانشکده‌ها، مرکز تحقیقاتی، پژوهشکده‌ها، پارک علم و فناوری و دیگر واحدها باید با مجوز کتبی صادره از معاونت پژوهشی دانشگاه و براساس آئین‌نامه‌های مصوب انجام شود.

ماده ۴- ثبت اختصار و تدوین دانش فنی و یا ارائه یافته‌ها در جشنواره‌های ملی، منطقه‌ای و بین‌المللی که حاصل نتایج مستخرج از پایان‌نامه/ رساله و تمامی طرحهای تحقیقاتی دانشگاه باید با هماهنگی استاد راهنمای یا مجری طرح از طریق معاونت پژوهشی دانشگاه انجام گیرد.

ماده ۵- این آیین‌نامه در ۵ ماده و یک تبصره در تاریخ ۱۸/۴/۲۳ در شورای پژوهشی و در تاریخ ۸۷/۴/۲۳ در هیأت رئیسه دانشگاه به تایید رسید و در جلسه مورخ ۸۷/۷/۱۵ شورای دانشگاه به تصویب رسیده و از تاریخ تصویب در شورای دانشگاه لازم‌الاجرا است.

«اینجانب فرانک فلاحتیان دانشجوی رشته بیوشیمی بالینی ورودی سال تحصیلی ۱۳۸۵ مقطع دکتری دانشکده علوم پزشکی متعهد می‌شوم کلیه نکات مندرج در آیین‌نامه حق مالکیت مادی و معنوی در مورد نتایج پژوهش‌های علمی دانشگاه تربیت مدرس را در انتشار یافته‌های علمی مستخرج از پایان‌نامه / رساله تحصیلی خود رعایت نمایم. در صورت تخلف از مفاد آیین‌نامه فوق الاشعار به دانشگاه وکالت و نمایندگی می‌دهم که از طرف اینجانب نسبت به لغو امتیاز اختصار بنام بنده و یا هرگونه امتیاز دیگر و تغییر آن به نام دانشگاه اقدام نماید. ضمناً نسبت به جبران فوری ضرر و زیان حاصله براساس برآورد دانشگاه اقدام خواهم نمود و بدینوسیله حق هرگونه اعتراض را از خود سلب نمودم.»

امضا
تاریخ
۹۰/۷/۱۵

آئین نامه پایان نامه (رساله) های دانشجویان دانشگاه تربیت مدرس

نظر به اینکه چاپ و انتشار پایان نامه (رساله) های تحصیلی دانشجویان دانشگاه تربیت مدرس، مبین بخشی از فعالیت های علمی پژوهشی دانشگاه است. بنابراین به منظور آگاهی و رعایت حقوق دانشگاه، دانش آموختگان این دانشگاه نسبت به رعایت موارد ذیل متعهد می شوند:

ماده ۱ : در صورت اقدام به چاپ پایان نامه (رساله) ای خود، مراتب را قبلاً به طور کتبی به دفتر "دفتر نشر آثار علمی دانشگاه اطلاع دهد.

ماده ۲ : در صفحه سوم کتاب (پس از برگ شناسنامه)، عبارت ذیل را چاپ کند:
"کتاب حاضر، حاصل رساله دکتری نگارنده در رشته بیوشیمی بالینی است که در سال ۱۳۹۰ در دانشکده علوم پزشکی دانشگاه تربیت مدرس به راهنمایی دکتر کرمی تهرانی، مشاوره دکتر سلامی از آن دفاع شده است.

ماده ۳ : به منظور جبران بخشی از هزینه های انتشارات دانشگاه، تعداد یک درصد شمارگان کتاب (در هر نوبت چاپ) را به "دفتر نشر آثار علمی" دانشگاه اهدا کند. دانشگاه می تواند مازاد نیاز خود را به نفع مرکز نشر در معرض فروش قرار دهد.

ماده ۴ : در صورت عدم رعایت ماده ۳، ۵۰٪ بهای شمارگان چاپ شده را به عنوان خسارت به دانشگاه تربیت مدرس، تادیه کند.

ماده ۵ : دانشجو تعهد و قبول می کند در صورت خودداری از پرداخت های بهای خسارت، دانشگاه مذکور را از طریق مراجع قضایی مطالبه و وصول کند، به علاوه به دانشگاه حق می دهد به منظور استیفای حقوق خود، از طریق دادگاه، معادل وجه مذکور در ماده ۴ را از محل توقیف کتابهای عرضه شده نگارنده برای فروش، تامین نماید.

ماده ۶ : اینجانب فرانک فلاحتیان دانشجوی رشته بیوشیمی بالینی مقطع دکتری تعهد فوق و ضمانت اجرایی آن را قبول کرده، به آن ملتزم می شو姆.

نام و نام خانوادگی: حمزه فلاحتیان
تاریخ و امضا: ۹۰/۷/۱



دانشگاه تربیت مدرس

دانشکده علوم پژوهشی

رساله

دوره دکتری تخصصی (*Ph.D.*) در رشته بیوشیمی بالینی

عنوان

بررسی نقش cGMP در القاء تکثیر / آپوپتوز از طریق PKG و تعیین الگوی بیان
ایزوفرم های آن در دو رده سلولی سرطان سینه، MCF-7 و MDA-MB-468

MDA-MB-468

نگارش

فرانک فلاحیان

استاد راهنما

دکتر فاطمه کرمی تهرانی

استاد مشاور

دکتر سیامک سلامی

تابستان ۱۳۹۰

چکیده

اخیراً فعالسازی PKG توسط cGMP به عنوان یک مکانیسم مولکولی جدید برای القا آپوپتوز در سلولهای سرطانی مورد توجه قرار گرفته است بر این اساس تحقیق حاضر به منظور بررسی نقش مسیر cGMP/PKG در مهار رشد و القاء آپوپتوز در سلول های سرطان پستان، MCF-7 و MDA-MB-468 طراحی گردید. تیمار سلول ها با YC-1 (فعال کننده گوانیلیل سیکلаз محلول) موجب مهار رشد سلولی و القاء آپوپتوز در آن ها گردید. نقش مسیر cGMP/PKG در مهار رشد سلولی با اندازه گیری میزان cGMP درون سلولی و استفاده از مهار کننده پروتئین کیناز G (KT5823) تایید گردید. در این تحقیق همچنین الگوی بیان ایزوفرم هایPKG با استفاده از RT-PCR تعیین گردید. نتایج نشان داد که هر سه ایزوفرم PKG در هر دو رده سلولی MCF-7 و MDA-MB-468 بیان می شوند. سپس به منظور بررسی نقش ایزوفرم هایPKG در مهار رشد سلولی، از فعال کننده ها و مهار کننده های ایزوفرم هایPKG استفاده گردید. نتایج بدست آمده نشان داد که تیمار سلول ها با فعال کننده ایزوفرم PKGI β موجب مهار رشد و القاء آپوپتوز می گردد. نتیجه بدست آمده با استفاده از مهار کننده های ایزوفرم هایPKG مورد تایید قرار گرفت. در این تحقیق به منظور بررسی آپوپتوز از تکنیک های فلوسایتومتری (رنگ آمیزی دوگانه سلول ها با Annexin V-FITC/PI)، رنگ آمیزی سلول ها با هوخت ۳۳۲۵۸، آنالیز سیکل سلولی و اندازه گیری فعالیت کاسپازهای ۹ و ۳ استفاده گردید. در رده سلولی MDA-MB-468 افزایش فعالت کاسپاز-۳ و -۹ در اثر فعالسازی مسیر cGMP/PKG مشاهده گردید در حالی که در رده MCF-7 تنها افزایش فعالیت کاسپاز-۹ مشاهده شد. افزایش فعالیت کاسپاز-۹ در هر دو رده سلولی پیشنهاد کننده مسیر میتوکندریایی آپوپتوز می باشد

پژوهش حاضر اولین گزارشی است که در مورد نقش PKGI β در تنظیم رشد و القاء آپوپتوز در سلول های سرطان پستان انسانی MCF-7 و MDA-MB-468 ارائه گردیده است.

واژه های کلیدی: CGMP ، پروتئین کیناز G ، سلول های سرطان پستان انسانی، آپوپتوز

فهرست مطالب

۱ فصل اول: مقدمه و مروری بر مطالعات گذشته
۲ ۱- سرطان پستان
۲ ۱-۱- انواع سرطان پستان
۲ ۱-۲- مرحله‌بندی سرطان پستان
۳ ۱-۳- درجه بافت شناسی سرطان پستان
۳ ۱-۴- عوامل افزایش‌دهنده احتمال بروز سرطان پستان
۴ ۱-۵- تشخیص سرطان پستان
۵ ۱-۶- روش‌های درمان سرطان سینه
۶ ۲- Cyclic GMP
۶ ۲-۱- سترز cGMP توسط آنزیم‌های گوانیلیل سیکلاز
۶ ۲-۱-۱- گوانیلیل سیکلازهای متصل به غشاء
۸ ۲-۱-۲- گوانیلیل سیکلازهای محلول
۸ ۲-۱-۲-۱- ساختار دمین‌های گوانیلیل سیکلازهای محلول
۹ ۲-۱-۲-۲- تنظیم گوانیلیل سیکلازهای محلول توسط لیگاندها
۱۰ ۲-۲-۱- cGMP و سیگنالینگ سلولی
۱۱ ۲-۲-۲-۱- پروتئین کینازهای وابسته به cGMP
۱۱ ۲-۲-۲-۲- کانال‌های دریچه دار وابسته به نوکلئوتید‌های حلقوی
۱۲ ۲-۲-۳- فسفودی استرازهای تنظیم شونده توسط cGMP
۱۳ ۲-۳-۱- cyclic GMP و فیزیولوژی سلولی
۱۳ ۲-۳-۲-۱- تحرک عضلات صاف رگی
۱۴ ۲-۳-۲-۲- هموستاز الکترولیت‌ها و مایعات در روده

۱۶ ۱-۲-۳-۲-۳- انتقال نور
۱۷ ۱- ۳- پروتئین کینازهای وابسته به cGMP
۱۷ ۱-۱- ساختار
۱۸ ۱-۲- سوبسٹراهاي PKG
۲۰ ۱-۳- ۳- مسیر سیگنالینگ PKG
۲۱ ۱-۴- بیان PKG در سلول های توموری
۲۱ ۱-۵- اثرات آنتی توموری cGMP و پروتئین کیناز G در سلول های سرطانی
۲۲ ۱-۶- مهار مسیر سیگنالینگ β -catenin/ T- cell factor توسط PKG در سلول های سرطانی
۲۳ ۱-۷- نقش PKG در پیشگیری از تشکیل تومور
۲۳ ۱-۸- نقش Anoikis PKG در
۲۴ ۱-۹- نقش PKG در مهار اتصالی
۲۵ ۱-۱۰- اثرات آنتی توموری PKG در <i>in vivo</i>
۲۶ ۱-۱۱- PKG بعنوان یک هدف درمانی
۲۸ ۱-۱۲- آنالوگ های cGMP بعنوان ابزار بیوشیمیایی
۳۱ ۱-۱۳- انواع مرگ سلولی
۳۳ ۱-۱۴- ویژگی های مورفولوژیکی آپوپتوز
۳۴ ۱-۱۵- پروتئین های دخیل در آپوپتوز
۳۴ ۱-۱۶- کاسپازها
۳۴ ۱-۱۷- مسیرهای آپوپتوزی
۳۴ ۱-۱۸- مسیر خارجی
۳۵ ۱-۱۹- مسیر داخلی
۳۵ ۱-۲۰- ارتباط مسیر داخلی با مسیر خارجی یا مسیر مشترک

۳۵ ۱-۴-۵- آپوپتوز در درمان سرطان
۳۶ ۱-۶- فرضیه‌ها، اهداف و سیر منطقی تحقیق
۳۷ ۱-۶-۱- فرضیه‌ها
۳۷ ۱-۶-۲- اهداف
۳۸ فصل دوم: مواد و روش‌ها
۳۹ ۲-۱- کشت سلولی و تثیت آن
۳۹ ۲-۱-۱- تجهیزات و دستگاه‌های مورد نیاز
۴۰ ۲-۱-۲- مواد و وسایل مورد نیاز
۴۰ ۲-۱-۳- تهیه محیط کشت و محلول‌های مورد نیاز
۴۰ ۲-۱-۴- رده‌های سلولی مورد بررسی
۴۰ ۲-۱-۴-۱- رده سلولی MCF-7
۴۱ ۲-۱-۴-۲- رده سلولی MDA-MB-468
۴۱ ۲-۱-۵- شریط کشت و نگهداری رده‌های سلولی
۴۱ ۲-۱-۶- پاساژ سلول‌ها
۴۲ ۲-۱-۷- شمارش سلولی
۴۲ ۲-۱-۸- انجماد و نگهداری سلول‌ها
۴۲ ۲-۱-۸-۱- کشت سلول‌های فریز شده
۴۳ ۲-۲- سنجش بیان ژن ایزوفرم‌های PKG (PKG α , PKG β , PKG γ)
۴۳ ۲-۲-۱- استخراج RNA
۴۳ ۲-۲-۲- ستر cDNA
۴۴ ۲-۲-۳- انتخاب پرایمر برای ایزوفرم‌های پروتئین کیناز G
۴۵ ۲-۲-۴- تکنیک RT-PCR
۴۶ ۲-۲-۵- الکتروفورز ژل آگارز

۴۶ ۲-۱-۵-۱- مواد و بافرهای مورد نیاز.....
۴۶ ۲-۲-۵-۲- روش کار.....
۴۷ ۲-۳-۲- تیمار سلول ها.....
۴۷ ۲-۱-۳-۲- مواد و وسایل مورد نیاز.....
۴۷ ۲-۲-۳-۲- تیمار سلول ها با ترکیبات مورد نظر.....
۴۸ ۲-۴- بررسی سیتوتوکسیسیتی با استفاده از روش MTT.....
۴۸ ۲-۱-۴-۲- مواد و وسایل مورد نیاز.....
۴۸ ۲-۴-۲- اصول روش.....
۴۸ ۲-۳-۴-۲- روش کار.....
۴۹ ۲-۵- اندازه گیری میزان cGMP در سلول ها.....
۴۹ ۲-۱-۵-۲- مواد مورد نیاز.....
۴۹ ۲-۲-۵-۲- اساس روش.....
۵۰ ۲-۳-۵-۲- روش کار.....
۵۰ ۲-۶- بررسی آپوپتوز با فلوسایتومتری.....
۵۰ ۲-۱-۶-۲- اساس روش.....
۵۱ ۲-۲-۶-۲- مواد و دستگاه های مورد نیاز.....
۵۲ ۲-۳-۶-۲- روش کار.....
۵۳ ۲-۷-۲- رنگآمیزی سلول ها با Annexin V/PI و بررسی با میکروسکوپ فلورسنت.....
۵۳ ۲-۱-۷-۲- مواد و لوازم لازم مورد نیاز.....
۵۳ ۲-۲-۷-۲- روش کار.....
۵۳ ۲-۸-۲- بررسی سیکل سلولی با استفاده از فلوسایتومتری.....
۵۳ ۲-۱-۸-۲- مواد، وسایل و دستگاه های مورد نیاز.....
۵۴ ۲-۲-۸-۲- اساس روش.....

۵۴	۳-۸-۲- روش کار.....
۵۵	۹-۲- بررسی مورفولوژی هسته سلول های آپوپتوزی با استفاده از رنگ هونخست
	 ۳۳۲۵۸
۵۵	۹-۱- مواد و وسایل مورد نیاز.....
۵۵	۹-۲- روش کار.....
۵۶	۱۰-۲- سنجش فعالیت کاسپاز -۳.....
۵۶	۱۰-۱- اساس روش.....
۵۶	۱۰-۲- مواد مورد نیاز.....
۵۶	۱۰-۳- روش کار.....
۵۸	۱۱-۲- اندازه گیری فعالیت کاسپاز-۹.....
۵۸	۱۱-۲- روش کار.....
۶۰	فصل سوم: نتایج و یافته ها
۶۱	۱-۳- بررسی الگوی بیان ایزوفرم های پروتئین کیناز G با استفاده از RT-PCR در رده های سلولی سرطان پستان (MDA-MB-468 و MCF-7).....
۶۱	۱-۱-۳- نتایج حاصل از RT-PCR در رده سلولی MCF-7.....
۶۲	۱-۲-۳- نتایج حاصل از RT-PCR در رده سلولی MCF-7.....
۶۳	۲-۳- بررسی اثرات YC-1 بروی رده های سلولی سرطان پستان و MCF-7 و MDA-MB-468.....
۶۴	۲-۱-۳- بررسی اثرات YC-1 بروی رشد رده های سلولی MCF-7 و MDA-MB-468.....
۶۶	۲-۲-۳- اندازه گیری cGMP درون سلولی پس از تیمار با YC-1 در دو رده سلولی MCF-7 و MDA-MB-468.....
۶۸	۲-۳-۳- بررسی نقش پروتئین کیناز G در مهار رشد ناشی از افزایش cGMP در دو رده

-سلولی MCF-7 و MDA-MB-468
- ۷۸ ۳-۲-۱- نتایج مربوط به تاثیر مهار کننده اختصاصی پروتئین کیناز G بروی رشد سلول
.....های MCF-7 و MDA-MB-468
- ۷۹ ۳-۲-۲- نتایج مربوط به تاثیر مهار کننده اختصاصی پروتئین کیناز G بر روی
.....سیتوکسیسیتی ناشی از YC-1 در دو رده سلولی MCF-7 و MDA-MB-468
- ۷۱ ۳-۲-۳- بررسی اثر سیتوکسیک YC-1 بروی سلول های رده MCF-7 و MDA-MB-468
.....توسط فلوسایتومتری
- ۷۲ ۳-۲-۴-۱- نتایج بررسی اثر سیتوکسیک YC-1 بروی سلول های رده MCF-7 با استفاده از
.....فلوسایتومتری
- ۷۳ ۳-۲-۴-۲- نتایج بررسی اثر سیتوکسیک YC-1 بروی سلول های رده MDA-MB-468 با
.....استفاده از فلوسایتومتری
- ۷۵ ۳-۲-۵- رنگ آمیزی سلول های MCF-7 و MDA-MB-468 با PI و AnnexinV-FITC
.....بررسی با میکروسکوپ فلورست
- ۷۶ ۳-۲-۶- بررسی سیکل سلولی با استفاده از فلوسایتومتری
- ۷۶ ۳-۲-۶-۱- نتایج بررسی سیکل سلولی با استفاده از فلوسایتومتری در رده سلولی
.....MCF-7
- ۷۸ ۳-۲-۶-۲- نتایج بررسی سیکل سلولی با استفاده از فلوسایتومتری در رده سلولی
.....MDA-MB-468
- ۸۰ ۳-۲-۷- بررسی مورفولوژی هسته سلول های MCF-7 و MDA-MB-468 با رنگ
.....هو خست ۳۳۲۵۸
- ۸۲ ۳-۲-۸- بررسی فعالیت کاسپازها
- ۸۲ ۳-۲-۹- اندازه گیری فعالیت کاسپاز -۳ در دو رده سلولی MCF-7 و MDA-MB-468

- ۸۳ -۲-۸-۲-۳- اندازه گیری فعالیت کاسپاز-۹ در دو رده سلولی MCF-7 و MDA-MB-468
- ۸۵ -۳-۳- مشخص نمودن ایزوفرم های پروتئین کیناز G دخیل در رشد سلولی با استفاده از فعال کننده ها و مهارکننده های اختصاصی در رده های سلولی MCF-7 و MDA-MB-468
- ۸۵ -۳-۱- تاثیر فعال کننده اختصاصی ایزوفرم I α پروتئین کیناز G (8-APT-cGMP) بروی رشد رده های سلولی MCF-7 و MDA-MB-468
- ۸۷ -۲-۳-۳- تاثیر فعال کننده اختصاصی ایزوفرم I β پروتئین کیناز G (8-Br-PET- cGMP) بروی رشد رده های سلولی MCF-7 و MDA-MB-468
- ۸۷ -۲-۲-۳-۳- تاثیر فعال کننده اختصاصی ایزوفرم I β پروتئین کیناز G (8-Br-PET- cGMP) بروی رشد رده سلولی MCF-7
- ۸۹ -۲-۲-۳-۳- تاثیر فعال کننده اختصاصی ایزوفرم I β پروتئین کیناز G (8-Br-PET- cGMP) بروی رشد رده سلولی MDA-MB-468
- ۹۰ -۳-۳-۳- تاثیر فعال کننده اختصاصی ایزوفرم II پروتئین کیناز G بروی رشد رده های سلولی MCF-7 و MDA-MB-468
- ۹۱ -۴-۳-۳- تاثیر مهار کننده های اختصاصی ایزوفرم های پروتئین کیناز G بر روی رشد دو رده سلولی MCF-7 و MDA-MB-468
- ۹۳ -۳-۳-۵- تاثیر مهار کننده اختصاصی ایزوفرم I پروتئین کیناز G (RP-8-Br-PET-cGMP) بروی سیتوکسیستی ناشی از 8-Br-PET-cGMP در دو رده سلولی MCF-7 و MDA-MB-468
- ۹۴ -۶-۳-۳- تاثیر مهار کننده اختصاصی ایزوفرم II پروتئین کیناز G (RP-8-pCPT- cGMP) بروی سیتوکسیستی ناشی از 8-Br-PET-cGMP در دو رده سلولی MCF-7 و MDA-MB-468
- ۹۶ -۷-۳-۳- تاثیر مهار کننده های ایزوفرم های پروتئین کیناز G بروی سیتوکسیستی ناشی از

- MDA-MB-468 و MCF-7 در دو رده سلولی YC-1
- ۹۷ ۳-۳-۷-۱- تاثیر مهار کننده های ایزوفرم های پروتئین کیناز G بروی سیتوتوکسیسیتی ناشی از YC-1 در رده سلولی MCF-7
- ۹۸ ۳-۳-۷-۲- تاثیر مهار کننده های ایزوفرم های پروتئین کیناز G بروی سیتوتوکسیسیتی ناشی از MCF-7 در رده سلولی YC-1 در دو رده سلولی MDA-MB-468
- ۱۰۰ ۳-۳-۸- بررسی اثر سیتوتوکسیک 8-Br-PET-cGMP بروی سلول های رده MCF-7 و MDA-MB-468 توسط فلوسایتومتری
- ۱۰۱ ۳-۳-۸-۱- نتایج بررسی اثر سیتوتوکسیک 8-Br-PET-cGMP بروی سلول های رده MCF-7 توسط فلوسایتومتری
- ۱۰۲ ۳-۳-۸-۲- نتایج بررسی اثر سیتوتوکسیک 8-Br-PET-cGMP بروی سلول های رده MDA-MB-468 توسط فلوسایتومتری
- ۱۰۴ ۳-۳-۹- رنگ آمیزی سلول های MCF-7 و MDA-MB-468 با AnnexinV-FITC /PI با بررسی با میکروسکوپ فلورست
- ۱۰۵ ۳-۳-۱۰- بررسی سیکل سلولی با استفاده از فلوسایتومتری
- ۱۰۵ ۳-۳-۱۰-۱- نتایج بررسی سیکل سلولی با استفاده از فلوسایتومتری در رده سلولی MCF-7
- ۱۰۷ ۳-۳-۱۰-۲- نتایج بررسی سیکل سلولی با استفاده فلوسایتومتری در رده سلولی MDA-MB-468
- ۱۰۹ ۳-۳-۱۱- بررسی مورفولوژی هسته سلول های MCF-7 و MDA-MB-468 با رنگ هو خست ۳۳۲۵۸
- ۱۱۱ ۳-۳-۱۲-۱- بررسی فعالیت کاسپازها
- ۱۱۱ ۳-۳-۱۲-۲- اندازه گیری فعالیت کاسپاز -۳ در دو رده سلولی MCF-7 و MDA-MB-468

۱۱۲ اندازه‌گیری فعالیت کاسپاز-۹ در دو رده سلولی MCF-7 و MDA-MB-468
۱۱۴ فصل چهارم: بحث، نتیجه گیری و پیشنهادها
۱۳۱ فهرست منابع
۱۵۳ چکیده انگلیسی

فهرست جداول

۴۴ جدول ۲-۱: آماده سازی نمونه های PCR
۴۵ جدول ۲-۲: شرایط انجام PCR
۵۸ جدول ۲-۳: روش اندازهگیری کاسپاز-۳

فهرست نمودارها

- نمودار ۳-۱- تاثیر غلظت های مختلف YC-1 بر روی رشد سلول های MCF-7 در زمان های ۲۴، ۴۸ و ۷۲ ساعت.....
- نمودار ۳-۲- تاثیر غلظت های مختلف YC-1 بر روی رشد سلول های MDA-MB-468 در زمان های ۲۴، ۴۸ و ۷۲ ساعت.....
- نمودار ۳-۳- منحنی استاندارد به دست آمده از غلظت های استاندارد cGMP موجود در کیت سنجش cGMP.....
- نمودار ۳-۴- اثر YC-1 بر روی میزان cGMP درون سلولی در رده های سلولی MCF-7.....
- نمودار ۳-۵- اثر YC-1 بر روی میزان cGMP درون سلولی در رده های سلولی MDA-MB-468.....
- نمودار ۳-۶- تاثیر مهارکننده اختصاصی پروتئین کیناز G (KT5823) بر روی رشد سلول های MCF-7 و MDA-MB-468 پس از ۴۸ ساعت.....
- نمودار ۳-۷- درصد سلول های زنده تیمار شده با YC-1 در حضور و عدم حضور KT5823 در رده سلولی MCF-7.....
- نمودار ۳-۸- درصد سلول های زنده تیمار شده با YC-1 در حضور و عدم حضور KT5823 در رده سلولی MDA-MB-468.....
- نمودار ۳-۹- درصد سلول های زنده، آپوپتوتیک اولیه، دیررس و نکروزی در رده سلولی MCF-7 پس از تیمار با YC-1.....
- نمودار ۳-۱۰- درصد سلول های زنده، آپوپتوتیک اولیه، دیررس و نکروزی در رده سلولی MDA-MB-468 پس از تیمار با YC-1.....
- نمودار ۳-۱۱- تاثیر YC-1 بر روی توزیع سیکل سلولی در سلول های رده MCF-7.....
- نمودار ۳-۱۲- تاثیر YC-1 بر روی توزیع سیکل سلولی در سلول های رده MDA-MB-468.....
- نمودار ۳-۱۳- فعالیت کاسپاز-۳ در رده سلولی MCF-7 پس از تیمار با YC-1 در سه زمان مختلف.....
- نمودار ۳-۱۴- فعالیت کاسپاز-۳ در رده سلولی MDA-MB-468 پس از تیمار با YC-1 در سه زمان مختلف.....
- نمودار ۳-۱۵- فعالیت کاسپاز-۹ در رده سلولی MCF-7 پس از تیمار با YC-1 در سه ک

- زمان مختلف.....
- نمودار ۳-۱۶-۳- فعالیت کاسپاز-۹ در رده سلولی MDA-MB-468 پس از تیمار با YC-1 در سه زمان مختلف
- نمودار ۳-۱۷-۳- تاثیر فعال کننده اختصاصی ایزوفرم I α پروتئین کیناز G (8-APT-cGMP) بروی رشد سلول های رده MCF-7
- نمودار ۳-۱۸-۳- تاثیر فعال کننده اختصاصی ایزوفرم I α پروتئین کیناز G (8-APT-cGMP) بروی رشد سلول های رده MDA-MB-468
- نمودار ۳-۱۹-۳- تاثیر فعال کننده اختصاصی ایزوفرم I β پروتئین کیناز G (8-Br-PET-) بروی رشد سلول های رده MCF-7
- نمودار ۳-۲۰-۳- تاثیر فعال کننده اختصاصی ایزوفرم I β پروتئین کیناز G (8-Br-PET-) بروی رشد سلول های رده MDA-MB-468
- نمودار ۳-۲۱-۳- اثر فعال کننده اختصاصی ایزوفرم II پروتئین کیناز G (8-pCPT-cGMP) بروی رشد سلول های رده MCF-7
- نمودار ۳-۲۲-۳- اثر فعال کننده اختصاصی ایزوفرم II پروتئین کیناز G (8-pCPT-cGMP) بروی رشد سلول های رده MDA-MB-468
- نمودار ۳-۲۳-۳- تاثیر مهارکننده های ایزوفرم های پروتئین کیناز G بروی رشد سلول های MDA-MB-468 و MCF-7
- نمودار ۳-۲۴-۳- درصد سلول های زنده تیمار شده با 8-Br-PET-cGMP در حضور و عدم حضور مهارکننده ایزوفرم I پروتئین کیناز G (Rp-8-Br-PET-cGMP) در رده سلولی MCF-7
- نمودار ۳-۲۵-۳- درصد سلول های زنده تیمار شده با 8-Br-PET-cGMP در حضور و عدم حضور مهارکننده ایزوفرم I پروتئین کیناز G (Rp-8-Br-PET-cGMP) در رده سلولی MDA-MB-468
- نمودار ۳-۲۶-۳- درصد سلول های زنده تیمار شده با 8-Br-PET-cGMP در حضور و عدم حضور مهار کننده ایزوفرم II پروتئین کیناز G (Rp-8-pCPT-cGMP) در رده سلولی MCF-7
- نمودار ۳-۲۷-۳- درصد سلول های زنده تیمار شده با 8-Br-PET-cGMP در حضور و عدم

	حضور مهار کننده ایزوفرم II پروتئین کیناز G (Rp-8-pCPT-cGMP) در رده سلولی MDA-MB-468
۹۷	نمودار ۳-۲۸-۳ - درصد سلول های زنده تیمارشده با ۱-YC-1 در حضور و عدم حضور مهار کننده ایزوفرم II پروتئین کیناز G (Rp-8-pCPT-cGMP) در رده سلولی MCF-7
۹۸	نمودار ۳-۲۹-۳ - درصد سلول های زنده تیمارشده با ۱-YC-1 در حضور و عدم حضور مهار کننده ایزوفرم I پروتئین کیناز Rp-8-Br-PET-cGMP (G) در رده سلولی MCF-7
۹۹	نمودار ۳-۳۰-۳ - درصد سلول های زنده تیمارشده با ۱-YC-1 در حضور و عدم حضور مهار کننده ایزوفرم II پروتئین کیناز Rp-8-pCPT-cGMP (G) در رده سلولی MDA-MB-468
۱۰۰	نمودار ۳-۳۱-۳ - درصد سلول های زنده تیمارشده با ۱-YC-1 در حضور و عدم حضور مهار کننده ایزوفرم I پروتئین کیناز Rp-8-Br-PET-cGMP (G) در رده سلولی MDA-MB-468
۱۰۱	نمودار ۳-۳۲-۳ - درصد سلول های زنده، آپوپتوسیک اولیه، دیررس و نکروزی در رده سلولی MCF-7 پس از تیمار با 8-Br-PET-cGMP
۱۰۳	نمودار ۳-۳۳ - درصد سلول های زنده، آپوپتوسیک اولیه، دیررس و نکروزی در رده سلولی MDA-MB-468 پس از تیمار با 8-Br-PET-cGMP
۱۰۷	نمودار ۳-۳۴-۳ - تاثیر 8-Br-PET-cGMP بر روی توزیع سیکل سلولی در سلول های رده MCF-7
۱۰۹	نمودار ۳-۳۵-۳ - تاثیر 8-Br-PET-cGMP بر روی توزیع سیکل سلولی در سلول های رده MDA-MB-468
۱۱۱	نمودار ۳-۳۶-۳ - فعالیت کاسپاز-۳ در رده سلولی MCF-7 پس از تیمار با 8-Br-PET-cGMP در سه زمان مختلف
۱۱۲	نمودار ۳-۳۷-۳ - فعالیت کاسپاز-۳ در رده سلولی MDA-MB-468 پس از تیمار با 8-Br-PET-cGMP در سه زمان مختلف
۱۱۳	نمودار ۳-۳۸-۳ - فعالیت کاسپاز-۹ در رده سلولی MCF-7 پس از تیمار با 8-Br-PET-cGMP در سه زمان مختلف
۱۱۳	نمودار ۳-۳۹-۳ - فعالیت کاسپاز-۹ در رده سلولی MDA-MB-468 پس از تیمار با 8-Br-PET-cGMP در سه زمان مختلف

فهرست شکل‌ها

۷	شکل ۱-۱- ساختار گوانیلیل سیکلازهای متصل به غشاء.....
۹	شکل ۱-۲- ساختار گوانیلیل سیکلازهای محلول.....
۱۰	شکل ۱-۳- تنظیم گوانیلیل سیکلاز محلول توسط لیگاندها.
۱۴	شکل ۱-۴- مکانیسم مولکولی دخیل در اتساع عروق که از طریق cGMP به انجام می‌رسد.....
۱۶
۱۸
۲۷
۳۰
۳۲
۶۲
۶۳
۷۳
۷۵
۷۶	(الف) MDA-MB-468 (ب)
۷۷
۷۹